

構造解析のための節点番号付帯幅最適化手法について

京都大学工学部 正員 白石成人
京都大学工学部 正員 ○谷口健男

1. まえがき

構造解析の分野において多元連立一次方程式の解法は重要な地位を占め、今まで多くの手法が提案されているが、それらは係数行列が Sparse であること、あることは、非零要素が Band Form にあることを利用して、必要な容量及び演算時間の節約をはからうとするものである。特によく用いられる方法としてマトリクス法や等がられ、この手法を最大限有効に用いるための Labeling 法が今日までにいくつか提案されている。Labeling の目的と 1. 固定帶幅の最小化、2. 变動帶幅の最小化が挙げられる。これらは多くの次の 2 式で表現される。

$$\text{固定帶幅} : H.B.W. = \text{minimization of } (\max_{i,j} (a_{ij} - a_{ii})) \quad (1)$$

$$\text{変動帶幅} : \text{Profile} = \text{minimization of } \left(\sum_{i=1}^n (a_{ii} - a_{ik}) \right) \quad (2)$$

ここで、H.B.W. は Half Bandwidth の略記であり、 a_{ij} , a_{ii} , a_{ik} はそれぞれ構造特性行列 ($i = 2$ 日則性行列) の各行の最後の非零要素、対角要素、最初の非零要素を示し、Profile は各行の最初の非零要素と対角要素間に含まれる領域を示す。上式より、H.B.W. 最小化問題は一次元的な最適化であるのにに対し、Profile 問題は二次元的な意味をもつということができる。(図-1)

一方、Labeling の問題は、G.G. Alway & D.W. Martin の論文にも示されていよいよ完全にグラフの問題であり、その最適化にはグラフ理論に基づいたアプローチが用いられることが多い。従来この二つは別々に用いられたグラフ理論の概念といつて“次数”、“距離”が挙げられる。二の程度の導入だけでは不十分であることは、それを用いた諸手法では得られた結果の良否は対象系の形状に依存するこより明白である。^{2), 3)}

本研究においては筆者らが新たに提案した“巡回帶幅減少法”、巡回ペナルティ減少法に、巡回方程式とともに、それらの自動化への展望について考察を加える。ここに注意しなければならないことは、Labeling の問題はよくまで以後の構造解析の基となる問題にあります。またこれ自動化されたとしても、もし実時間の演算時間が要するものであるが価値がないことである。

2. グラフ理論に基づく節点番号付帯幅法

本節において、筆者らが新たに提案した巡回帶幅減少法及び巡回ペナルティ減少法の適用例題を示す。

2-1. 巡回帶幅減少法

本手法は筆者らが新たに提出したグラフ理論(図-2)の中に入れたトポロジカルな特徴を示す。この手法は、各頂点間に接続する辺の総数を最小にするように各頂点に番号を割り当てる。座標系の特性より、その総座標値が半帶幅値を示す。

この座標系は、本手法の基礎であり、次のようないくつかの特徴を持つ。

(1). 点配置：面か縦横等間隔に印され、どの交点に 1 点が配置される。

(2). 線配置：節点間の接続は図示される方向のみ許容される。

(3). 点番号：節点番号順序は座標系に固定される。画かれた图形の最右側点列は最上点より下へ、次に左側点列最上点へと順次番号が付与される。最終番号は最左側点列の最下点に付与される。

相隣子点列間の右側点列最下点と左側点列最上点間の最大総座標差を以てすと、ここに画かれた系の半帶幅値はその対角要素を含めて、

$$H.B.W. = d + 1 \quad (3)$$

すなはち、総座標差の最小化と帶幅最小化は等価であることがわかる。以下本手法の手順を簡単に示す。

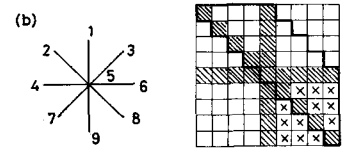
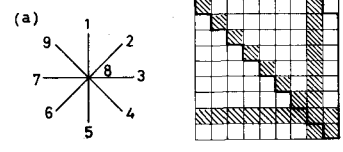


図-1. 節点番号とその係数行列
(a) - 最小巡回ペナルティ
(b) - 最少帯幅値

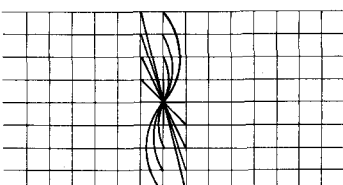


図-2. Filling Field と sparse connection direction

STEP 1. 点の長手軸を見い出し、座標の横軸に沿ってその系列を配置する。

STEP 2. 長手軸に対し直角方向にその軸を横切り、点の外周線上の1点より他点に至る最短パスを見い出し、系に含まれる全節点を1つずつ他の点に含めようとする。全てのパスを継点列として座標に配置する。

STEP 3. 高さが比較的高い部分の点列内の点を左右に移動させ、その近傍の諸点列の高さを一致せしめる。この操作が完了したとき、本手法は終了。Labelingは前述のように行う。

ここで述べたのは Mesh System を対象とした取り扱い法である。Tree System を対象とする時は取り扱いは多少異なり、その方法を Sequential File Method と呼ぶ。

2-2. 702ファイル最小化手法

この方法は特に Tree System を対象とした操作である。すなわち結果よりえらむように、固定帶幅は比較的外周辺形状が異なる場合、ファイルは凹凸がある(以下)系に対し有効である。

系からえらめた時点での特性行列中の非零要素数は $(n+2m)$ とえられる。

ここで n, m はそれぞれ節点数、線の本数である。しかしながら消去過程で零要素が生じ、それが非零化するものがある。このように零要素は各行において最初の非零要素と再零要素間に位置する。また、702ファイルを最小化するには、この領域内の零要素数を最小化することに他ならない。その手順は次のとおりである。

STEP 1. 各集中点につき2節点数の多い枝2本を選択。他には仮想の開放を与える。

これを全ての集中点につき行えば、最終的に次数1の2点を両端とした

Simple Pathを1本得られる。これを0級Trunkとする。

STEP 2. 系から0級Trunkを分離し、残った分離グラフに対して STEP 1 の操作 図-3 帯幅減少法の例題を適用し、各分離グラフ内に各々1本につき1級Trunkを得る。

STEP 3. STEP 2 の操作をくり返して2級のTrunkを得る。これをくり返すことは、0級よりn級までのTrunkの集合とみなせる。

STEP 4. 0級Trunkの1端より番号付けを行う。集中点に至れば集中点に対する番号付けを行はず。その集中点より派生して2枝内にある1級Trunkの1端より番号付けを続ける。同様に、ある2級($k+1$)級Trunkの集中点に至れば、その集中点に対する番号付けを行はず。その集中点より派生して2枝内にある($k+2$)級Trunkの1端から番号付けを続ける。

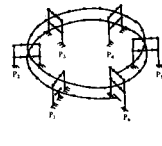
STEP 5. 0級Trunkの他端に至れば番号付けを終了する。

いま非零化する零要素の個数を L_0 とあらわし、それを"ロズ"と呼びておこう。上記手順によると、"ロズ"は全2集中点に集中する416の点には"2"が発生している。また、ある級のTrunkに含まれる節点は必ず以下の級のTrunkの集中点に2つと現われる。このように2つの総和 L_0 が表現される。

$$L_0 = \sum_{h=1}^H h \cdot T_h - \sum_{h=1}^H m_h \quad (4)$$

ここで H は最高 k 級のTrunkが存在することを示し、 T_h はTrunkの総数、 m_h は h 級のTrunkの内に含まれる節点個数、 m_h は h 級Trunkの個数を示す。また系全体の節点数は $\sum_{h=0}^H T_h - 1$ が表現される。Profile は

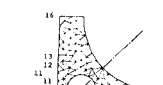
$$\text{Profile} = \sum_{h=0}^H (h+1) T_h - \sum_{h=1}^H m_h - 1 \quad (5)$$



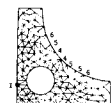
(a) Model of Sebitanmatsu-Ohashi Bridge



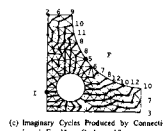
(b) Field Form of Sebitanmatsu-Ohashi Bridge



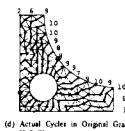
(c) Shortest Paths Connecting Two Nodes on Boundary
1 and F Max Cycle = 12



(d) Shortest Paths from (1)



(e) Imaginary Cycles Produced by Connecting 1 and F Max Cycle = 12



(f) Actual Cycles in Original Graph H.B.W. = 11

図-4. 帯幅減少法の適用例

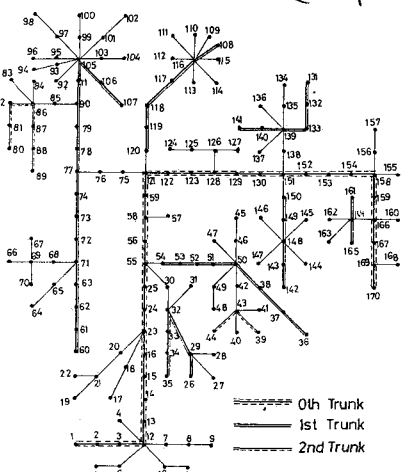


図-5. 702ファイル最小化手法の適用例

今、この手法はほとんどの系に対し最小ファイルをもつが、場合によれば最小化しない場合がある。その原因はTrunk選定基準として各枝内の節点個数のみ考慮していいとは限らない。実際に枝の長さ、集中点間隔も影響を及ぼす。しかし「2Dマイルズ」などから近似値で十分であると考えられる。

2-3. 適用例

図-3,4は国式帶幅減少法の適用例²⁾。左図よりH.B.W.は9,11とある。右図はプロファイル減少法の適用例³⁾を示し、番号順序が載り、右図は21。図-5,6,7は両手法を利用して結果を示し、左図は非常に優れ、右図はこれに次ぐ。

図-8はTree System⁴⁾について、Cuthill-McKee, King, Levyによる手法を適用した結果を比較したもの⁵⁾である。 Σ の手法は、左図よりH.B.W., Profileの最小値(真値)を21とすると、右図の程度の大まきの割合で計算したときは、両手法とも11程度化するに1令程度しか必要としない。

3. 帯幅減少法の自動化への展望

従来の手法の主たる戦略は大きく2つと1)行列の入出力、2)向かうの種類を導入する。これらはいわゆる最適化による問題からすれば不十分であり系の形状による結果は大きく支配される。特に距離 ≥ 2 の離れた点に連絡番号を付けることは不可能に近く、Tree系のように系は格子最適化が困難であると言える。本節では第2節に示した手法の自動化への問題点を述べる。

グラフを式⁶⁾表現する一番簡単な方法は節点間、もしくは部分節点間接続行列を用いる方法であろう。前者の場合グラフの節点相互の連結が能(距離=1)を表現しており、後者は各部材との境界である面端点との関係を示す。1, -1よりなる行列である。今、前者を $A(N \times N)$ と表現する。 A 行列の要素を a_{ij} 、1のみとする。各節点の次数は各行の要素の和 a_{ii} を計算する。また $A^2 = A \times A$ の対角要素の値が次数に一致する。 A の非零要素は、その行・列番号に対応する2節点が距離=1の関係にあることを示す。 A での回転竹田時⁷⁾(i,j 要素が非零にならぬこと)。

$$A^{(0)}_{i,j} = A(i, a_1) \cdot A(a_1, a_2) \cdots A(a_{d-1}, j) \neq 0 \quad (6)$$

$$\therefore A(i, a_1) = A(a_1, a_2) = \cdots = A(a_{d-1}, j) = 1 \quad (7)$$

となり、 i,j 間の距離が最大も $= d$ であることをわかる。この考え方を用いてグラフの直径 d は理論上容易に求められる。おなじく

$$\tilde{A}^{(d)} = A + A^{(1)} + A^{(2)} + \cdots + A^{(d)} \quad (8)$$

d を始め d までの要素が非零化したことと、そのグラフの直径は d である。最後に非零化した要素 (i,j) で d は i,j 間に位置することわかる。しかしながらこの方法における演算時間は N^3 のオーダーに比例する。以下、これに替わる簡便法を示す。 A の任意の1行 $A(i)$ を取り出し以下の演算を行ふ。

$$\begin{aligned} A_i^{(2)} &= A_i \cdot A \\ &\vdots \\ A_i^{(n)} &= A_i^{(n-1)} \cdot A \end{aligned} \quad (9)$$

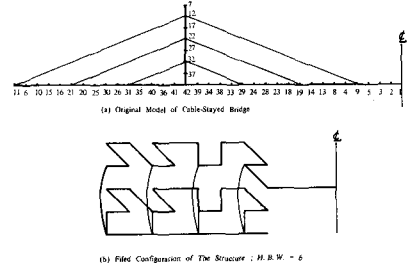


図-6. 帯幅減少法適用例

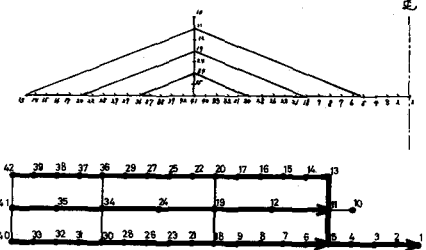
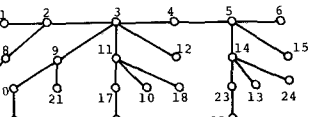
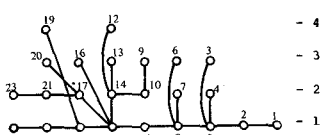


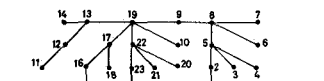
図-7. 7段階入り減法適用例



(a) Original Labeled Tree Structure



(b) Result of Sequential File Method (H.B.W. = 5)



(c) Result of Our Method for Profile Reduction

Algorithm	Bandwidth	Profile
Original	13	107
Cuthill - McKee	10	101
King	13	59
Levy	14	37
Sequential File Method	5	41
Proposed Method	19	29

図-8. まとまる手法による結果の比較

$A_{ij}^{(n)}$ の全ての要素が非零化した時、最後に非零化した要素を $A_{ij}(n)$ とおきて上式よりこれを逆置換えて同じ操作をくり返す。さらに $A_{ij}(n, k)$ が最終に非零化しならばそれを最後置換と呼び同じ操作をくり返す。対象系が Tree であれば上記操作のみで演算は終了し、直経は必ず子間に位置するといふから $d_0 = n - 1$ である。対象系が Mesh 系の場合でも 4 ヘッジのくり返しが完全に直経が取れうる。しかしながら系の形には、2 は、上記操作によると Local Optimum が取れる場合がある。これは初期直経の取り方に依るものであり、また Mesh 系の場合初期直経を変えて演算するとか望ましい。本手法によれば演算時間は N^2 のオーダーにないことが理論的である。前者に比べて有利である。例えれば、図-8 の Tree System ($N=24$) の場合、その演算所要時間は前者が 0.9 秒、後者が約 0.1 秒、さるに図-6 の Cable Stayed Bridge ($N=42$) の場合、7.1 秒、0.3~0.4 秒となり、ここで示した手法は節点数が多くなるほど有利となる。 $n=2 \sim 0.3 \sim 0.4$ と幅があるのは、初期直経の影響による。前者に提案した国字帶幅減少法に比べ、この直経の概念はその基本戦略の重要な地位を占めていることより、上記手法によりそれが容易に求められることがわかる。たることは自動化へ大きく一步迈进したと言ふ。特に Tree 系の場合、本論文では示せなかつたが「高密度」という考え方を導入せしめ、これが Tree を構成する諸点列を包む形で全体として処理する。例えば点列を個別に取り扱つて一本かつ座標系にfileする時生じる折れ曲がり操作を多用すれば直経を求めることが可能となる。國字帶幅減少法の自動化は可能と思われる。Mesh 系の場合、直経直角方向への凹入の選択、凸部の折れ曲げ等困難な点が数多く残るところである。しかし、それはあくまで本手法の完全自動化を目指とした場合である。例えば従来提案されてきた諸手法に「直経」の概念を導入し、その端点近傍の初期直経(ラベル 1)をたすように改良する場合は容易である。

一方、プロファイル最小化法は、前者に比べて手動化は容易であり、現在研究室においてプロフライング作業中である。その最大の理由は、対象が Tree であることより任意の点間の距離は 1 本しか存在しないこと、および Trunk の選定が節点数というもので決定されることが多いこと、さるにプロファイルの大小を支配する「ロス」が集中点に集まるのが直感的であるなどがあつて、これらによると、しかししながら、これは Mesh 系に特徴しそうとすれば、前者と同様の数多くの問題点が残されていく。

國字帶幅減少法、プロファイル減少法を直角プロフライングを行つた場合、そのプロフライングの大半は論理演算で占められ、数値演算はほとんどないであろう。これは、両手法がその基本戦略をグラフの諸概念にたよるところにある。この点は、両手法を自動化する最大の欠点となるであろう。

4. あとがき

本論文においては、簡単化された固定、変動帶幅減少法の概略、およびその自動化への問題点を述べた。帶幅減少法は元來グラフの問題である。よつて本論文の第一回は幾何学の問題を電子計算機にのせると試みたわけである。これは、土木学会誌 1976 Vol. 61 「内談：現代数学を語る」野口亮、佐藤正雄先生の推薦してある問題である。元來不可能に近いことがあつてもしない。ヒカルをさげ、次の 2 回の手法が考へられるであろう。

1) グラフの諸概念を電子計算機にのせる要素のみ導入し、自動化をはかる。

2) 自動化は行なわず、manual な方法にする。

前者は、少くとも大規模な系に対しては行なわれねばならぬ、後者は中小規模の系に対し有効なアプローチであると思われる。なお、上記演算は FARM 230-72 に依る結果である。

[参考文献]

- 1). G.G. Atabay & D.W. Martin, "An Algorithm for Reducing the Bandwidth of a Matrix of Symmetric Configuration," Computer J., 8, pp. 264-272, 1965
- 2). 同上 R.P. Tewarson, "Row-Column Permutation of Sparse Matrices," Computer J., 10, pp. 300-305, 1967
- 3). E. Cuthill, "Several Strategies for Reducing the Bandwidth of Matrices," Sparse Matrices and Their Applications, Plenum, New York, pp. 157-166, '72
- 4). T. Taniguchi, "Application of Topology to Bandwidth Reduction Method of Structural Stiffness Matrices," Doctoral Dissertation to Kyoto Univ., Dec. 1974
- 5). I. Konishi, N. Ibaraki & T. Taniguchi, "Reducing the Bandwidth of Structural Stiffness Matrices," J. of Structural Mechanics, 4(2), pp. 197-226, 1976